

УДК 519.857

## О СВОЙСТВАХ ДИНАМИЧЕСКИХ ОКОН В ДИСКРЕТНЫХ ОТОБРАЖЕНИЯХ

Д. С. Чернавский, А. П. Никитин, О. Д. Чернавская, Д. С. Щепетов

*Проблема возникновения и исчезновения динамических окон в дискретных отображениях важна и интересна как в фундаментальном, так и в прикладном аспектах. В работе проведено аналитическое и компьютерное исследование возникновения динамических окон и их структурной (параметрической) устойчивости. На примере модели кубического отображения показано, что переход в окно и выход из него зависят от характера изменения управляющего параметра, от начальных условий и от деталей расчетной схемы. В реальных задачах точность исходной информации всегда ограничена, поэтому и точность расчета должна быть адекватна целям задачи. Показано, что обработка данных в рамках модели с большей точностью не только нецелесообразна, но может привести к артефактам.*

Явление динамического хаоса в одномерных дискретных отображениях  $x_{i+1} = F(x_i)$  активно исследовалось как аналитически, так и в ходе компьютерных вычислительных экспериментов (см. обзор в [6]).

Кубическое отображение  $x_{i+1} = \nu(x_i - x_i^3)$  [4, 8] представляет особый интерес, так как может служить простой моделью такого понятия теории динамических систем как “перемешивающий слой” [2, 3, 5]. При  $0 \leq \nu \leq 1$  имеется единственное устойчивое стационарное состояние  $x = 0$ . При  $1 < \nu \leq 2$  существуют два устойчивых состояния (положительное и отрицательное), а конечный результат определяется начальными условиями. При  $2 < \nu < \nu_{cr} = 3\sqrt{3}/2 \approx 2.598$  может иметь место хаотический режим, но смены знака  $x_i$  не происходит. При  $\nu > \nu_{cr}$  имеют место как хаотические, так

и динамические режимы. При этом происходят перескоки от положительных к отрицательным значениям  $x_i$  при любых начальных условиях, таких, что  $|x_1| < \sqrt{(\nu + 1)/\nu}$  и  $|x_1| \neq 0; 1$ . При  $\nu > 3$  величина  $|x_i|$  неограниченно возрастает.

В [2] принималось, что управляющий параметр  $\nu$  медленно и монотонно уменьшается с возрастанием номера итерации, например, по экспоненциальному закону  $\nu = \nu_0 \exp(-\gamma t)$ , где  $\gamma \ll 1$ ,  $\nu_{cr} < \nu_0 \leq 3$ . В настоящей статье мы акцентируем внимание на другом аспекте кубического отображения: при изменении управляющего параметра  $\nu$  в области  $\nu > \nu_{cr}$  хаотическое поведение системы перемежается сравнительно узкими областями  $\Delta\nu$  (так называемыми “окнами”), в рамках которых возникают устойчивые циклы и поведение системы жестко детерминировано.

Проблема возникновения и исчезновения динамических окон важна как в фундаментальном, так и в прикладном аспектах. Дискретные модели часто используются в естественных и технических науках, в экономике и социологии. В хаотическом режиме горизонт прогнозирования поведения системы ограничен, а в случае образования “окна” – бесконечен. Переход в окно и выход из него зависит от изменения управляющего параметра, от начальных условий и, что важно, от деталей расчетной схемы (точности и характера округления).

*Аналитическое исследование возникновения и устойчивости окон.* Динамическим окном будем называть интервал  $\Delta\nu$ , внутри которого имеется притягивающий цикл, содержащий  $k$  итераций. Уместно сделать несколько замечаний.

I) Предполагается, что длина периода конечна и не велика. Дело в том, что в реальных задачах длина  $L$  наблюдаемой последовательности  $\{x_i\}$  всегда ограничена. Если  $k > L$ , то такая последовательность неотличима от хаотической.

II) Слова “притягивающий цикл” означают, что существует конечный интервал начальных условий  $\Delta x$ , таких, что все траектории, выходящие из этого интервала, с течением времени выходят на один и тот же цикл длины  $k$ . Это означает, что окно динамически устойчиво (не исчезает при малых вариациях начальных условий).

III) Интервал управляющего параметра  $\Delta\nu$  конечен и достаточно велик. Это означает, что этот интервал должен быть больше допустимой в данной задаче погрешности измерений параметра (или компьютерного счета):  $\Delta\nu > \delta\nu$ . В этом случае динамическое окно можно считать параметрически (или структурно) устойчивым.

IV) Понятие “цикл длины  $k$ ” должно быть уточнено. В действительности, в окне имеет место квазипериодический режим. Он содержит два (или более) перемежающихся цикла одинаковой длины  $k$  с близкими промежуточными значениями  $x_i$ .

Известно [5], что динамическая устойчивость периодических решений зависит от величины

$$\lambda = \left| \prod_{i=0}^{k-1} F'(x_i) \right| - 1, \quad (1)$$

где  $F'(x_i)$  – первая производная функции  $F(x)$  в точке  $x_i$ . При  $\lambda < 0$  цикл устойчив. Величина  $\lambda$  играет ту же роль, что и число Ляпунова в континуальных динамических системах. Из (1) вытекает ряд следствий.

1) Если цикл содержит точку  $x_0$ , соответствующую вершине  $x_v$  функции  $F(x)$ , то  $F'(x_v) = 0$  и  $\lambda = -1$ , т.е. цикл устойчив. Если точка  $x_0$  близка к вершине, так что  $|F'(x_0)| = \varepsilon < 1$ , то знак  $\lambda$  зависит от величины  $\prod_{i=1}^{k-1} F'(x_i)$ . Производные  $F'(x_i)$  в остальных точках  $x_i$  не равны нулю и могут быть достаточно велики. Если цикл не содержит точек внутри интервала  $x_v \pm \Delta x_0$  ( $|F'(x_v \pm \Delta x_0)| \geq 1$ ), то цикл наверняка неустойчив.

2) Длина устойчивого цикла  $k$  должна быть достаточно мала. Из (1) следует, что в таком цикле  $\sum_{i=0}^{k-1} \ln |F'(x_i)| \leq k \ln(|F'(x_v \pm \Delta x_0)|)$ . Обозначив  $\sum_{i=0}^{k-1} \ln |F'(x_i)| = k \langle \ln |F'(x_i)| \rangle$ , получим оценку для длины устойчивого цикла  $k \leq \frac{\ln(|F'(x_v \pm \Delta x_0)|)}{\langle \ln |F'(x_i)| \rangle}$ . Величина  $\ln(|F'(x_v \pm \Delta x_0)|)$  зависит от точности определения величины  $x_0$  и/или точности счета. Величина  $\langle \ln |F'(x_i)| \rangle$  в силу усреднения является грубой (в смысле Андронова), т.е. слабо зависит от малых девиаций начальных условий.

*Структурная устойчивость динамических окон.* Обсудим вопрос, при каких значениях параметра  $\nu$  могут возникать динамические окна и какова их структурная (параметрическая) устойчивость. Пусть имеется отображение:

$$x_{i+1} = F(\nu, x_i). \quad (2)$$

Цикл длины  $k$  при данном  $\nu$  существует, если:

$$x_0 - x_k = 0. \quad (3)$$

Согласно (2),  $x_k = F(\nu, x_{k-1}) = F(\nu, F(\nu, x_{k-2})) = F(\nu, F(\nu, F(\nu, x_{k-3}))) = \dots = F(\nu, F(\nu, \dots F(\nu, F(\nu, x_0) \dots))$ . Тогда условие (3) приобретает вид

$$F(\nu, k) = F(\nu, F(\nu, \dots F(\nu, F(\nu, x_0) \dots)) - x_0 = 0, \quad (4)$$

где  $F(\nu, k) = F(\nu, x_{k-1})$ .

Выражение (4) является алгебраическим уравнением, определяющим значения параметра. Цикл длины  $k$  существует при тех значениях  $\nu$ , которые являются вещественными и положительными корнями уравнения (4). Обозначим такие корни  $\nu_j(k)$ , где  $j$  – номер корня.

Цикл, соответствующий корню  $\nu_j(k)$ , структурно устойчив при следующих условиях.

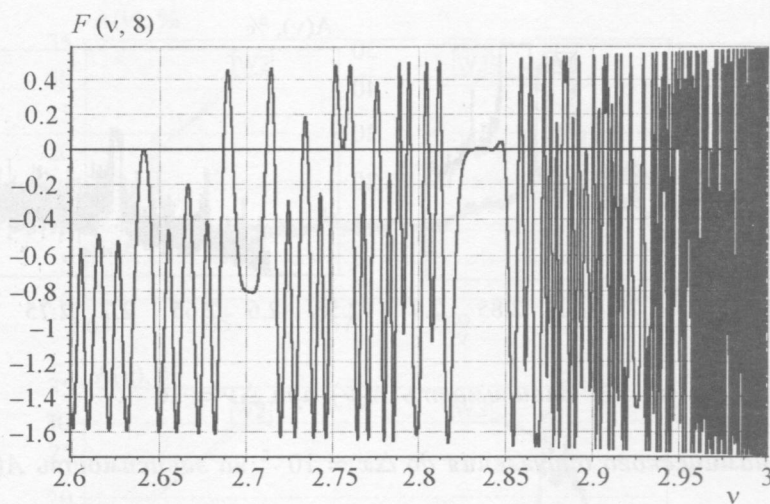
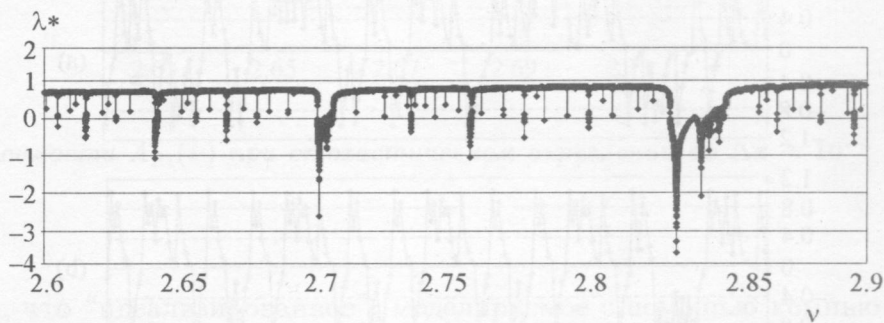
1) При малых изменениях  $\nu$  величина  $F(\nu, k)$  в области  $\nu \cong \nu_j(k)$  меняется мало. Отсюда следует условие  $\left. \frac{\partial F(\nu, k)}{\partial \nu} \right|_{\nu=\nu_j(k)} = 0$ . Оно означает, что в точке  $\nu_j(k)$  совпадают два (или более) корня функции  $F(\nu, k)$ . Далее такие точки будем обозначать как  $\nu_j^{(t)}(k)$ . Дополнительную информацию дает вторая производная  $\sigma = \left. \frac{\partial^2 F(\nu, k)}{\partial \nu^2} \right|_{\nu_j(k)=\nu_j^{(t)}(k)}$ . Ширина окна  $\Delta\nu$  обратно пропорциональна корню из этой величины.

2) Точки существования и устойчивости других циклов  $\nu_j^{(t)}(l)$  (длины  $l \neq k$ ) не должны совпадать с точками  $\nu_j^{(t)}(k)$  (или располагаться вблизи них). Иначе может возникнуть перемежаемость, т.е. непредсказуемые перескоки с цикла длины  $k$  на циклы длины  $l$  и обратно. Если  $l$  кратно  $k$ , совпадение корней неизбежно, но оно не приводит к перемежаемости.

Обсудим случай, когда корни уравнения (4) сближаются, так что между ними остается интервал  $\Delta\nu \cong \varepsilon \ll 1$ . Внутри  $\Delta\nu$  функция  $F(x)$  не равна нулю, но мала в меру  $F(x) \cong 2\sigma\varepsilon^2$ . Это означает, что конечная точка цикла не совпадает с  $x_0$ :  $x_k = x_0 + \delta x$  (где  $\delta x \cong 2\sigma\varepsilon^2$ ). Девиацию  $\delta x$  можно компенсировать изменением  $x_0$  так, чтобы  $F(\nu_a, x_0 + \delta x_0) = 0$ , где  $\nu_a$  – любое значение внутри  $\Delta\nu$ , а величина  $\delta x_0$  того же порядка, что и  $\delta x$ . При этом должно соблюдаться условие динамической устойчивости цикла, т.е.  $F'(x_0 + \delta x_0) \ll 1$ . Последнее накладывает ограничение на величину  $\delta x_0$  и, следовательно, на ширину окна  $\Delta\nu$ .

На рис. 1 показан вид кривой  $F(\nu < \nu_{cr}, k = 8)$  для кубического отображения. Видно, например, что окно в окрестности  $\nu \approx 2.7$  возникло в результате сближения двух корней, а окно при  $\nu \approx 2.84$  – в результате скопления многих корней.

На рис. 2 показана экспериментальная зависимость  $\lambda^*(\nu) = \left\langle \frac{1}{L_f - L_s} \times \sum_{i=L_s+1}^{L_f} \ln |F'(\nu, x_i)| \right\rangle$ , где усреднение выполнено по набору из  $M = 1000$  последовательностей  $\{x_i\}$  с генерируемыми случайным образом начальными значениями, а  $L_s$  и  $L_f$  – достаточно велики.

Рис. 1. Вид функции  $F(\nu, k)$  при  $k = 8$ .Рис. 2. Усредненная характеристика устойчивости траекторий  $\lambda^*(\nu)$ .

Для визуальной оценки поведения системы может быть использована развертка ряда  $\{x_i\}$ . На рис. 5а показан фрагмент модельной последовательности для кубического отображения при значении параметра  $\nu$ , соответствующем хаотическому режиму. Для сравнения на рис. 7а показан вид последовательности при попадании в динамическое окно.

При  $\nu > \nu_{cr}$  информативны события смены знака в парах  $\{x_{i-1}; x_i\}$  (перескоки между квадрантами диаграммы Ламерая [5]). Поэтому дополнительно к периоду цикла  $k$  можно ввести понятие “периодичность”  $P$ , под которой ниже понимается характерное количество элементов последовательности, через которое происходит изменение знака  $x_i$ . Так, на рис. 7а период  $k = 6$  сочетается с периодичностью  $P = 3$  элемента.

Численный эксперимент проводился путем сканирования по диапазону параметра  $\nu \in [2.59...3.00]$  с различными шагами  $\Delta\nu$ . Для каждого  $\nu_j$  в качестве базовой ста-

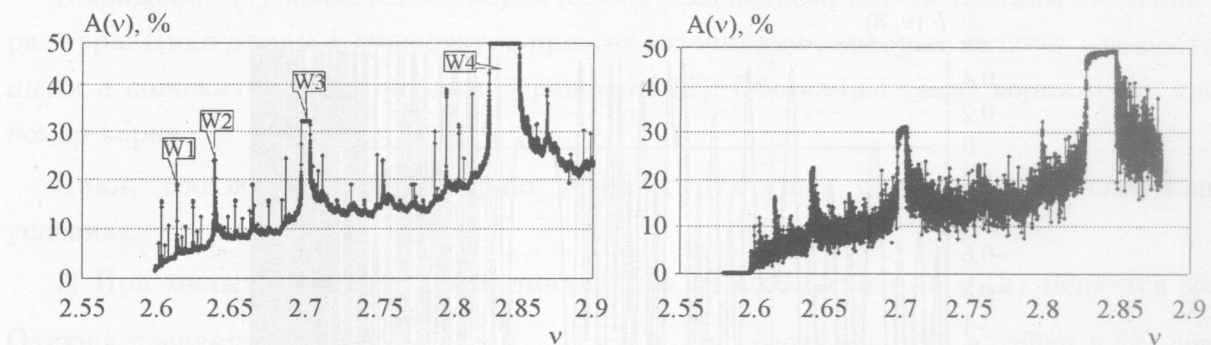
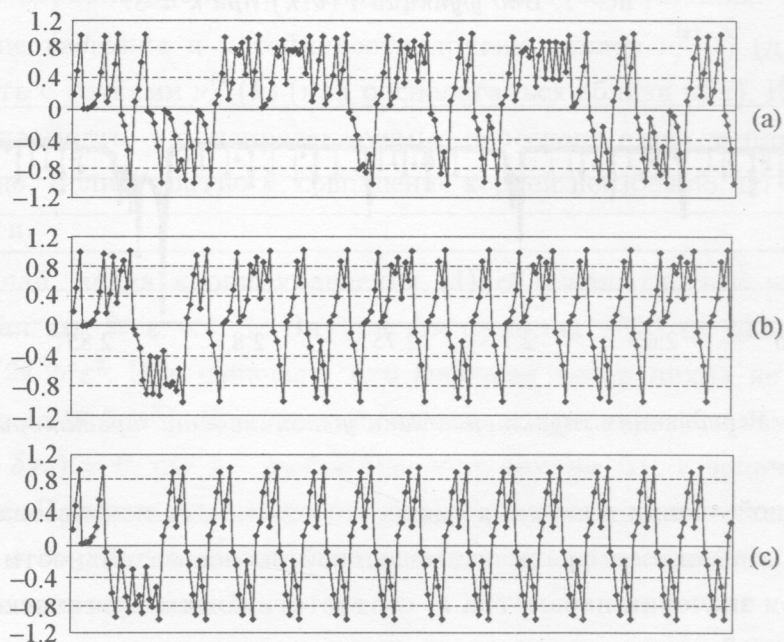
Рис. 3. Зависимость  $A(\nu)$  при  $\Delta\nu = 10^{-5}$ .

Рис. 4. Влияние динамического округления до  $\Delta x = 10^{-5}$  на зависимость  $A(\nu)$  (ср. с рис. 3).

Рис. 5. Реализация последовательности при  $\nu = 2.65$ ,  $x_1 = 0.2$  без округления (вверху, а), с динамическим округлением до  $\Delta x = 10^{-4}$  (в середине, б),  $\Delta x = 10^{-3}$  (внизу, в).

тистики оценивалась величина  $A(\nu)$ , равная отношению числа перескоков к длине  $L$  анализируемой последовательности. Максимальное значение  $A(\nu)$  составляет 50%, т.е. соответствует ситуации, когда смена знака  $x$  происходит через каждые два элемента. Дополнительно проводилось усреднение  $A(\nu)$  по набору из  $Z$  последовательностей (см. рис. 3).

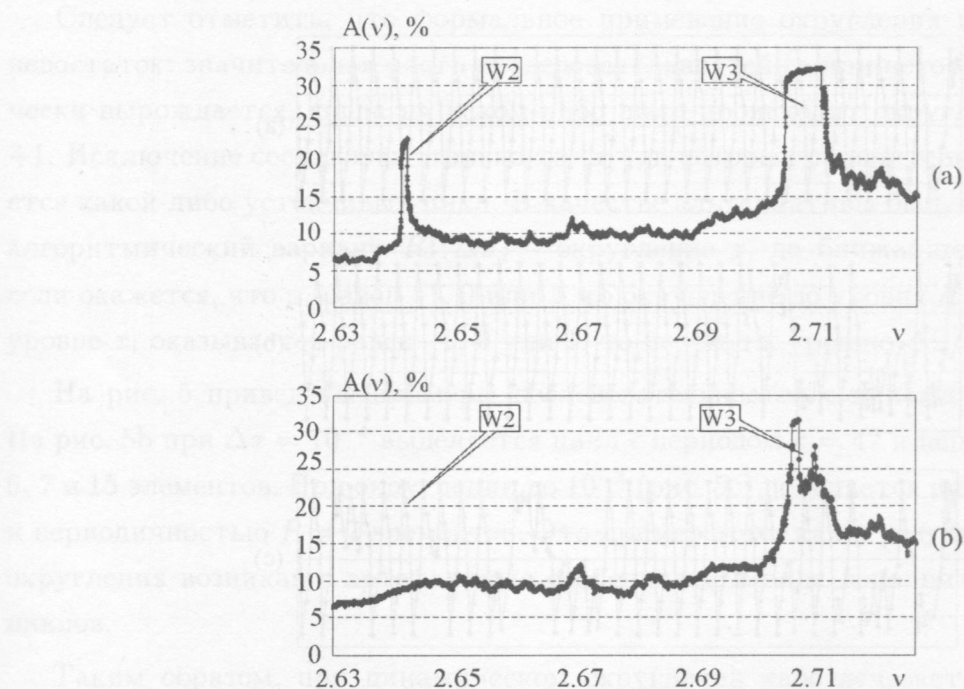


Рис. 6. Зависимости  $A_{R1}(\nu)$  при стохастическом округлении до  $\Delta x = 10^{-4}$  (а) и до  $\Delta x = 10^{-3}$  (б).

Отметим, что “идеализированное”, моделируемое с помощью компьютерного представления вещественных чисел (например, 80-битный тип *extended* обеспечивает до 20 значащих цифр) кубическое отображение в закритической области  $\nu > \nu_{cr}$  проявляет целый набор особенностей: чередование периодичностей и т.п. На самом деле, в практических измерениях такая точность не реализуется. Под “измерениями” здесь могут пониматься результаты любых наблюдений, опытов, анализов, получаемых в технических, естественно-научных, социально-экономических, медицинских и иных исследованиях.

*Проблема точности измерений. Динамическое округление.* Для описания любых реальных результатов достаточно конечного количества значений. Например, если принять предельную точность в 6 значащих цифр, то любые значения можно представить в виде  $(a, bcd\bar{e})10^g$ . В этой записи  $a$  может варьироваться от 1 до 9, стоящие после запятой  $b, c, d, e, f$  – от 0 до 9, а показатель степени  $g$  для любых мыслимых измерений не выходит за пределы интервала  $(-100, +100)$ . Тогда общее количество возможных значений не превысит  $9 \cdot 10^5 \cdot 201$ , т.е. составит менее 200 миллионов.

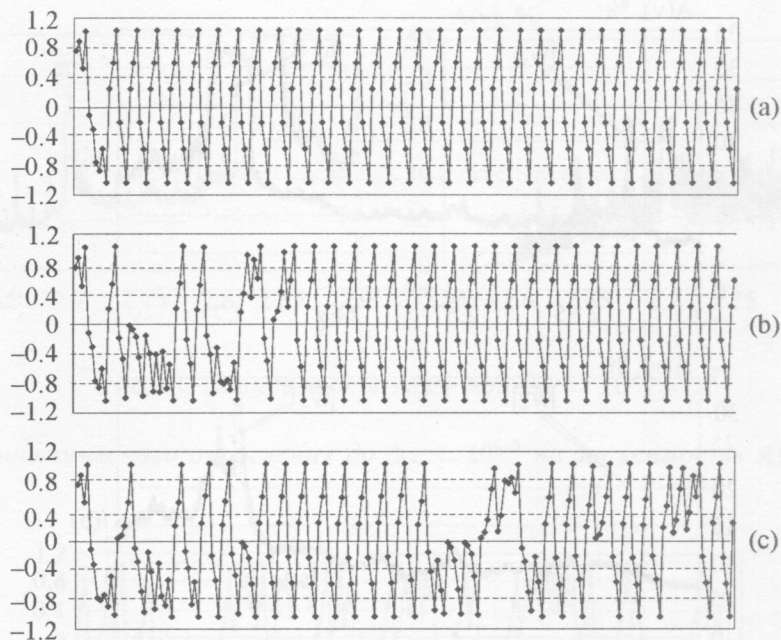


Рис. 7. Реализации при  $\nu = 2.7025$ ,  $x_1 = 0.75$  в пределах окна W3 без округления (a) и со стохастическим округлением до  $\Delta x = 10^{-4}$  (b),  $\Delta x = 10^{-3}$  (c).

Изучение ошибок округления, влияющих на пространственную дискретность динамических систем с дискретным временем (отображений), является объектом значительного интереса за последние два десятилетия. Отметим, в частности, работы М.Л. Бланка из ИППИ РАН [1]. Был развит математический аппарат для теоретического исследования асимптотических свойств подобных систем. Показано, что влияние даже достаточно малых ошибок округления может кардинально изменить поведение сложной хаотической системы в рамках рассматриваемой модели. Результирующее поведение очень чувствительно к тонкой структуре фазового пространства дискретизации, соответствующей этим ошибкам [7, 9].

Нами были исследованы свойства окон в кубическом отображении при округлении до ближайшей значащей цифры при различных дискретностях  $\Delta x: 10^{-8} \dots 10^{-3}$  (так называемое “динамическое округление”). Из рис. 4 видно, что особенностью такого округления являются “размывание” тренда  $A(\nu)$  и появление многочисленных “выбросов”. При грубом округлении фактически весь интервал  $\nu$  состоит из динамических процессов и хаос практически отсутствует.

Следует отметить, что формальное применение округления имеет существенный недостаток: значительная часть последовательностей (а при некоторых  $\nu$  – все) фактически вырождается, когда на каком-либо шаге происходит округление  $x_i$  до 0, -1 или +1. Исключение составляют только те  $\{x_i\}$ , в которых сравнительно быстро формируется какой-либо устойчивый цикл. В качестве альтернативы был, например, опробован алгоритмический вариант  $R1(\Delta x)$  – округление  $x_i$  до ближайшей дискретности  $\Delta x$ , если окажется, что  $x_i$  равен -1, 0 или 1, то округление до уровня  $\Delta x/10$ . Если и на этом уровне  $x_i$  оказывается равен -1, 0 или 1, то переход к уровню  $\Delta x/100$  и т.д.

На рис. 5 приведены примеры последовательностей с динамическим округлением. На рис. 5b при  $\Delta x = 10^{-4}$  выделяется цикл с периодом  $k = 42$  и периодичностью  $P = 4, 6, 7$  и 15 элементов. При округлении до  $10^{-3}$  (рис. 5c) появляется цикл с периодом  $k = 14$  и периодичностью  $P = 7$  элементов. Это пример того, как в результате динамического округления возникают артефактные особенности в виде дополнительных устойчивых циклов.

Таким образом, при динамическом округлении хаос исчезает. Физический смысл этого явления прост. Если малая девиация в неустойчивом цикле при возвращении в исходную точку возрастает, но оказывается меньше  $\Delta x$ , то после округления полученное значение  $x_i$  точно совпадает с исходным  $x_i$ . Это означает, что эффект неустойчивости исчезает.

Еще раз подчеркнем, что при постоянном  $\nu$  и при любом динамическом округлении хаос, говоря математически строго, отсутствует. Например, при округлении до  $\Delta x = 10^{-4}$  число возможных значений составляет порядка  $N \sim 2 \cdot 10^4$ . Так как  $x_i$  детерминированно определяет  $x_{i+1}$ , то максимальный период цикла составляет  $N$  элементов. Поэтому наличие “хаоса” можно постулировать только таким образом, что периодические циклы не обнаруживаются при наблюдении некоторого априорного заданного числа  $L$  элементов последовательности  $\{x_i\}$ .

*Стохастическое округление.* Под “стохастическим округлением” понимается вариант, при котором округление до кратности  $\Delta x$  вверх или вниз производится случайно и равновероятно. На рис. 6 показаны зависимости  $A_{R1}(\nu, \Delta x)$  с различной дискретностью  $\Delta x$  на интервале  $\nu \in (2.63; 2.72)$ , позволяющем отразить мелкомасштабные особенности поведения кривых.

Уже при округлении до  $\Delta x = 10^{-4}$  зависимость  $A_{R1}(\nu)$  становится гладкой и исчезают все артефакты (см. рис. 4), а также исходные особенности в виде “особых точек” (ср. рис. 3). При этом еще сохраняется устойчивый цикл W2 в области  $\nu \approx 2.641$  и ги-

перустойчивый цикл W3 в окрестностях  $\nu \approx 2.70$ . При  $\Delta x = 10^{-3}$  окно W2 полностью исчезает, а W3 сохраняется, хотя и несколько суженное. В качестве иллюстрации на рис. 7 приведены развертки для гиперустойчивого окна W3. Видно, что при  $\Delta x = 10^{-4}$  цикл сохраняется, а при  $\Delta x = 10^{-3}$  начинает “разрушаться” – при этом фрагменты из нескольких периодов цикла чередуются с интервалами “хаотического” поведения системы.

Итак, при грубом стохастическом округлении исчезают, во-первых, циклы-артефакты, проявившиеся при динамическом округлении, и, во-вторых, даже некоторые гиперустойчивые циклы. Физический смысл этого также прост. Если в гиперустойчивом цикле мы возвращаемся практически точно в исходное положение, то при стохастическом округлении мы приходим в соседнее положение, соответствующее кратности  $\Delta x$ . Причем это положение случайно в силу случайности направления округления. Таким образом, стохастическое округление по сути аналогично случайным внешним воздействиям на систему (“шумовому полю”).

В работе показано, что рассматриваемое простое кубическое отображение демонстрирует целый ряд интересных эффектов, в частности, динамические окна в области хаотического поведения системы. Важно подчеркнуть, что характерные свойства этих окон существенно зависят от способа округления измерений.

В современной науке все большую роль при исследовании свойств динамических моделей играет компьютерный эксперимент. Он призван дополнить (или заменить) традиционный аналитический метод. Однако эти подходы иногда вступают в противоречие, чему посвящена обильная литература. Причина разногласия в том, что при компьютерных расчетах используется дискретное представление вещественных чисел и точность его всегда ограничена. При аналитических исследованиях фактически предполагается, что исходные данные (начальные условия и параметры) заданы с бесконечной точностью.

Если процесс, описываемый моделью, динамически и структурно устойчив, то оба подхода приводят к одинаковым результатам. Если же процесс неустойчив, то возникают противоречия, поскольку малые различия начальных условий и/или параметров нарастают со временем, приводя к большим расхождениям. В этом случае возникает вопрос: какой из подходов адекватен целям задачи. Дело в том, что в любой конкретной задаче параметры и начальные условия задаются с определенной конечной точностью. Последняя определяется целью постановки задачи и возможностями измерения физических величин. Превышение точности не целесообразно, это утверждение очевидно и

не ново. Менее очевидное утверждение: превышение точности может привести к артефактам, т.е. предсказанию эффектов, которые отсутствуют при менее и более точных расчетах.

Отметим, что проблема точности расчетов вставала в физике и ранее, еще до эры компьютеров, при описании неустойчивых процессов. Были введены понятия "гугол" (число  $10^{100}$ ) и "обратный гугол" (число порядка  $10^{-100}$ ). Показано [5], что все известные физические величины в нашей Вселенной не выходят за эти рамки. Характерная точность современных компьютерных вычислений существенно ниже (порядка  $10^{-20}$ ). В большинстве реальных задач целесообразная точность еще ниже (порядка 5-7 десятичных знаков).

Появление артефактов зависит также и от характера округления. Подчеркнем, что это замечание носит не математический, а скорее физический (или методологический) характер. В реальных задачах мы всегда имеем дело с округленными величинами. Любая реальная система погружена в шумовое поле, влияние которого и определяет достоверность последней значащей цифры. Поэтому значимы только те утверждения, которые сохраняют силу в шумовом поле, характерном для данной задачи. В частности, при округлении до  $\Delta x = 10^{-3}$  утверждения об устойчивых циклах, порог устойчивости которых меньше  $\Delta x$ , к реальным задачам уже не относятся.

Работа выполнена при поддержке Российского гуманитарного научного фонда (грант РГНФ N 04-03-00069а).

#### ЛИТЕРАТУРА

- [1] Бланк М. Л. Успехи математических наук, **44**(6), 3 (1989).
- [2] Колупаев А. Г., Чернавский Д. С. Краткие сообщения по физике ФИАН, N 1-2, 12 (1997).
- [3] Курдюмов С. П., Малинецкий Г. Г., Чернавский Д. С. Препринт ИПМ N (ИПМ, Москва, 2005).
- [4] Лоскутов А. Ю., Михайлов А. С. Введение в синергетику. Наука, М., 1990.
- [5] Чернавский Д. С. Синергетика и информация (динамическая теория информации). Изд. второе. Эдиториал УРСС, М., 2004.
- [6] Чернавский Д. С., Никитин А. П., Чернавская О. Д. и др. Препринт ФИАН N 11 (ФИАН, Москва, 2006).
- [7] Grebogi C., Ott E., Yorke J. A. Phys. Rev. A **38**, 3688 (1988).

- [8] Rogers T., Whitley D. C. *Math. Model.* **4**, 9 (1983).  
 [9] Vivaldi F. *Experimental Mathematics* **3**(4), 303 (1994).

Поступила в редакцию 28 ноября 2006 г.